

Relaxation lagrangienne en programmation par contraintes appliquée au problème du commis voyageur

Raphaël Boudreault et Claude-Guy Quimper

12 mars 2021

Université Laval

Le problème du commis voyageur

Définition

- *Problème du commis voyageur*
- *Problème du voyageur de commerce*
- *Traveling salesman problem (TSP)*

Définition

- *Problème du commis voyageur*
- *Problème du voyageur de commerce*
- *Traveling salesman problem (TSP)*

Définition

Étant donné une liste de villes et les distances entre chacune d'elles, déterminer le chemin le plus court visitant chaque ville une seule fois et retournant à son point de départ.

Définition

- *Problème du commis voyageur*
- *Problème du voyageur de commerce*
- *Traveling salesman problem (TSP)*

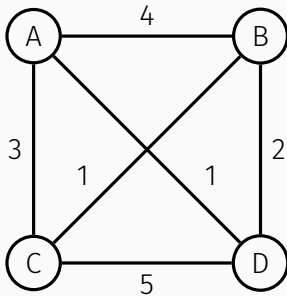
Définition

Étant donné une liste de villes et les distances entre chacune d'elles, déterminer le chemin le plus court visitant chaque ville une seule fois et retournant à son point de départ.

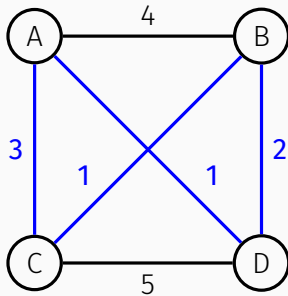
Définition (graphe)

Étant donné un graphe pondéré G , trouver un **cycle hamiltonien** dans G de poids minimal.

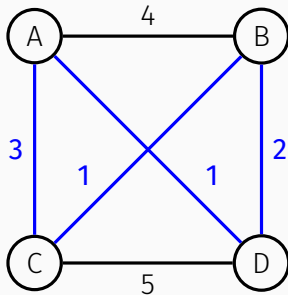
Exemple



Exemple



Exemple



Note : Problème **symétrique** (graphe non dirigé)

Explosion combinatoire

Pour n villes, il existe $\frac{1}{2}(n - 1)!$ chemins candidats...

Explosion combinatoire

Pour n villes, il existe $\frac{1}{2}(n - 1)!$ chemins candidats...

n	# chemins
4	3
6	60
10	181 440
15	43 589 145 600
20	$6,1 \times 10^{16}$
49	$6,2 \times 10^{60}$
61	$4,2 \times 10^{81}$

Explosion combinatoire

Pour n villes, il existe $\frac{1}{2}(n - 1)!$ chemins candidats...

n	# chemins
4	3
6	60
10	181 440
15	43 589 145 600
20	$6,1 \times 10^{16}$
49	$6,2 \times 10^{60}$
61	$4,2 \times 10^{81}$

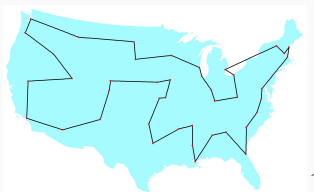
En général, c'est un problème NP-difficile

Bref historique

- Origines incertaines... 1800?
- 1930 : Première formulation mathématique

Bref historique

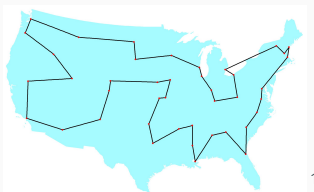
- Origines incertaines... 1800?
- 1930 : Première formulation mathématique
- 1954 : Dantzig, Fulkerson et Johnson résolvent un TSP à 49 villes (à la main!)



1. <http://www.math.uwaterloo.ca/tsp/history/pictorial/dfj.html>

Bref historique

- Origines incertaines... 1800?
- 1930 : Première formulation mathématique
- 1954 : Dantzig, Fulkerson et Johnson résolvent un TSP à 49 villes (à la main!)



- Années 90 : Applegate, Bixby, Chvátal et Cook développent le solveur exact *Concorde*
- 2000 à aujourd'hui : *Concorde* résout des problèmes difficiles allant jusqu'à 109 399 villes

1. <http://www.math.uwaterloo.ca/tsp/history/pictorial/dfj.html>

Formulation linéaire

V : ensemble des sommets (*villes*), $V := \{1, \dots, n\}$

E : ensemble des arêtes (*routes*)

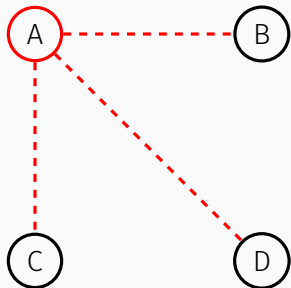
$w(e)$: poids de l'arête $e \in E$ (*longueur de la route e*)

$$\min \quad Z = \sum_{e \in E} w(e)x_e$$

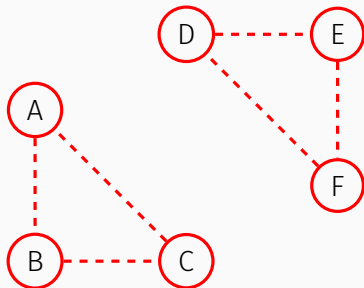
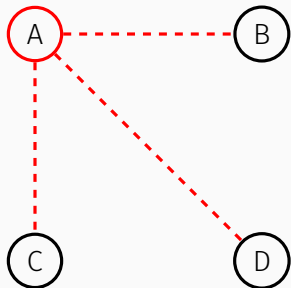
$$\text{s. à} \quad \sum_{e \in \delta(i)} x_e = 2 \quad \forall i \in V \quad (1)$$

$$\sum_{i,j \in S, i < j} x_{\{i,j\}} \leq |S| - 1 \quad \forall S \subset V, |S| \geq 3 \quad (2)$$

$$x_e \in \{0, 1\} \quad \forall e \in E \quad (3)$$



Formulation linéaire



Approche générale de résolution

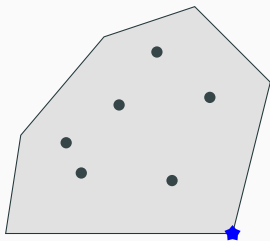
- *Problème d'optimisation linéaire en nombres entiers*

Approche générale de résolution

- *Problème d'optimisation linéaire en nombres entiers*
- Approche : deux séquences monotones de bornes
 - Bornes supérieures : solutions admissibles
 - Bornes inférieures : relaxations

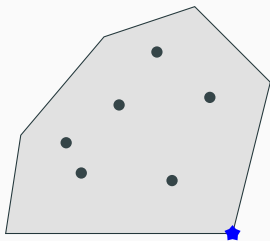
Approche générale de résolution

- *Problème d'optimisation linéaire en nombres entiers*
- Approche : deux séquences monotones de bornes
 - Bornes supérieures : solutions admissibles
 - Bornes inférieures : relaxations



Approche générale de résolution

- *Problème d'optimisation linéaire en nombres entiers*
- Approche : deux séquences monotones de bornes
 - Bornes supérieures : solutions admissibles
 - Bornes inférieures : **relaxations**



- Plans sécants, *branch-and-bound*...

Relaxation *1-tree* du TSP

- Introduite par Held et Karp en 1970
- Obtenue en relaxant les **contraintes de degré**

Relaxation 1-tree du TSP

- Introduite par Held et Karp en 1970
- Obtenue en relaxant les contraintes de degré

$$\min \quad Z = \sum_{e \in E} w(e)x_e$$

$$\text{s. à} \quad \sum_{e \in \delta(1)} x_e = 2 \quad \forall i \in V \quad (1)$$

$$\sum_{e \in E} x_e = n \quad (\text{N})$$

$$\sum_{i,j \in S, i < j} x_{\{i,j\}} \leq |S| - 1 \quad \forall S \subset V \setminus \{1\}, |S| \geq 3 \quad (2)$$

$$x_e \in \{0, 1\} \quad \forall e \in E \quad (3)$$

Relaxation 1-tree du TSP

- Introduite par Held et Karp en 1970
- Obtenue en relaxant les **contraintes de degré**

$$\min \quad Z = \sum_{e \in E} w(e)x_e$$

$$\text{s. à} \quad \sum_{e \in \delta(1)} x_e = 2 \quad \forall i \in V \quad (1)$$

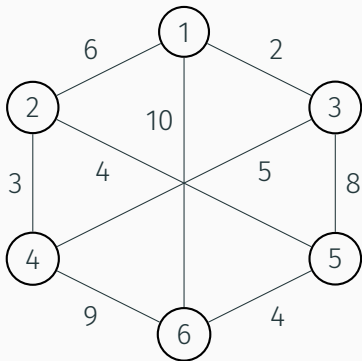
$$\sum_{e \in E} x_e = n \quad (\mathbf{N})$$

$$\sum_{i,j \in S, i < j} x_{\{i,j\}} \leq |S| - 1 \quad \forall S \subset V \setminus \{1\}, |S| \geq 3 \quad (2)$$

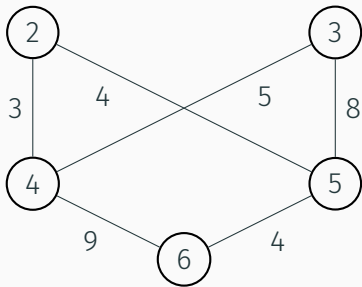
$$x_e \in \{0, 1\} \quad \forall e \in E \quad (3)$$

Contraintes (1), (N), (2) : structure d'un **1-tree**

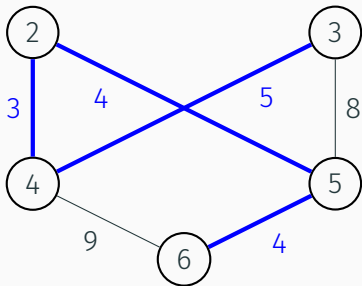
Exemple



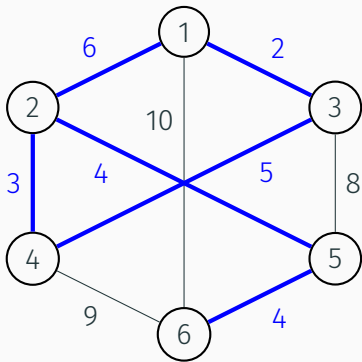
Exemple



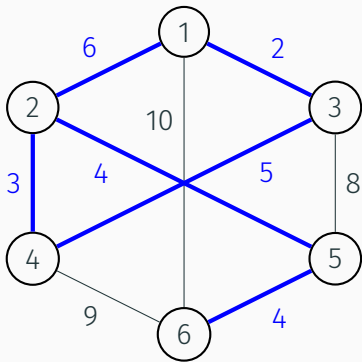
Exemple



Exemple



Exemple



Borne : 24

Optimale : 28

Intégration des contraintes de degré dans la fonction objectif en ajoutant des **multipliateurs de Lagrange**

$$\boldsymbol{\lambda} = (\lambda_1, \lambda_2, \dots, \lambda_n) \in \mathbb{R}^n, \lambda_1 = 0$$

Intégration des contraintes de degré dans la fonction objectif en ajoutant des **multiplicateurs de Lagrange**

$$\boldsymbol{\lambda} = (\lambda_1, \lambda_2, \dots, \lambda_n) \in \mathbb{R}^n, \lambda_1 = 0$$

$$\min \quad Z_{RL}(\boldsymbol{\lambda}) = \sum_{e \in E} w(e)x_e + \sum_{i \in V} \lambda_i (\deg_T(i) - 2)$$

$$\text{s. à } \quad T = \{e : x_e = 1\} \text{ est un 1-tree}$$

Amélioration : *relaxation lagrangienne*

Intégration des contraintes de degré dans la fonction objectif en ajoutant des **multipliateurs de Lagrange**

$$\boldsymbol{\lambda} = (\lambda_1, \lambda_2, \dots, \lambda_n) \in \mathbb{R}^n, \lambda_1 = 0$$

$$\min \quad Z_{RL}(\boldsymbol{\lambda}) = \sum_{e \in E} w(e)x_e + \sum_{i \in V} \lambda_i (\deg_T(i) - 2)$$

$$\text{s. à } \quad T = \{e : x_e = 1\} \text{ est un 1-tree}$$

Pour tout $\boldsymbol{\lambda}$, $Z_{RL}(\boldsymbol{\lambda})$ est une borne inférieure valide!

Étant donné λ ...

Étant donné λ ...

$$Z_{RL}(\lambda) = \sum_{\{i,j\} \in E} (w(i,j) + \lambda_i + \lambda_j)x_{\{i,j\}} - 2 \sum_{i \in V} \lambda_i$$

Étant donné λ ...

$$Z_{RL}(\lambda) = \sum_{\{i,j\} \in E} \underbrace{(w(i,j) + \lambda_i + \lambda_j)}_{\tilde{w}(i,j)} x_{\{i,j\}} - 2 \sum_{i \in V} \lambda_i$$

Étant donné λ ...

$$Z_{RL}(\lambda) = \sum_{\{i,j\} \in E} \underbrace{(w(i,j) + \lambda_i + \lambda_j)}_{\tilde{w}(i,j)} x_{\{i,j\}} - 2 \sum_{i \in V} \lambda_i$$

Amélioration de la borne (**problème des multiplicateurs**) :

$$\max_{\lambda} Z_{RL}(\lambda)$$

→ Méthodes **itératives** (*sous-gradients*)

Et *Concorde* dans tout ça?

- Utilise les techniques mentionnées précédemment (*1-tree*, plans sécants, *branch-and-bound*...)
- Résout rapidement des instances de grande taille (1000+)
- Est l'état de l'art

Mais...

Et *Concorde* dans tout ça?

- Utilise les techniques mentionnées précédemment (*1-tree*, plans sécants, *branch-and-bound*...)
- Résout rapidement des instances de grande taille (1000+)
- Est l'état de l'art

Mais...

Il ne peut résoudre que le TSP *pur*, sans **contraintes additionnelles** (fenêtres de temps, capacités, trafic, etc.)

La programmation par contraintes

Définition

- Paradigme de programmation qui permet de résoudre des **problèmes combinatoires**
- Sépare la partie *modélisation* de la partie *résolution*

Définition

- Paradigme de programmation qui permet de résoudre des **problèmes combinatoires**
- Sépare la partie *modélisation* de la partie *résolution*

Modélisation

- Variables de décision
 - Type : Entier, booléen
 - Domaine : Énuméré ou intervalle

- Paradigme de programmation qui permet de résoudre des **problèmes combinatoires**
- Sépare la partie *modélisation* de la partie *résolution*

Modélisation

- Variables de décision
 - Type : Entier, booléen
 - Domaine : Énuméré ou intervalle
- Contraintes
 - Arithmétiques ($x \leq 8, x \neq y, z > 0$)
 - Logiques ($x \vee y, y \Rightarrow z, \neg x \wedge w$)
 - **Globales** (ALLDIFFERENT(x_1, \dots, x_n))

Définition

- Paradigme de programmation qui permet de résoudre des **problèmes combinatoires**
- Sépare la partie *modélisation* de la partie *résolution*

Modélisation

- Variables de décision
 - Type : Entier, booléen
 - Domaine : Énuméré ou intervalle
- Contraintes
 - Arithmétiques ($x \leq 8, x \neq y, z > 0$)
 - Logiques ($x \vee y, y \Rightarrow z, \neg x \wedge w$)
 - **Globales** (ALLDIFFERENT(x_1, \dots, x_n))
- Fonction objectif (si *problème d'optimisation*)

Arbre de recherche

Variables : $x \in \{4, 5\}$, $y \in \{5, 6\}$ et $z \in \{4, 25\}$

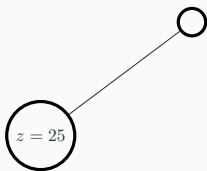
Contraintes : $x > z$ et $x \neq y$



Arbre de recherche

Variables : $x \in \{4, 5\}$, $y \in \{5, 6\}$ et $z \in \{4, 25\}$

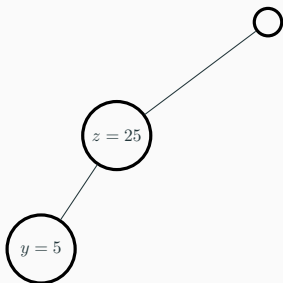
Contraintes : $x > z$ et $x \neq y$



Arbre de recherche

Variables : $x \in \{4, 5\}$, $y \in \{5, 6\}$ et $z \in \{4, 25\}$

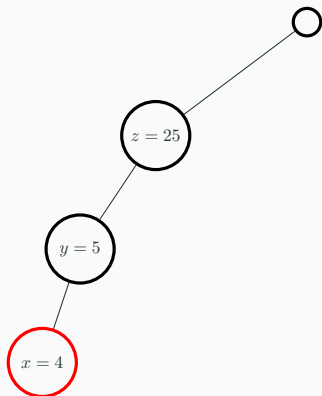
Contraintes : $x > z$ et $x \neq y$



Arbre de recherche

Variables : $x \in \{4, 5\}$, $y \in \{5, 6\}$ et $z \in \{4, 25\}$

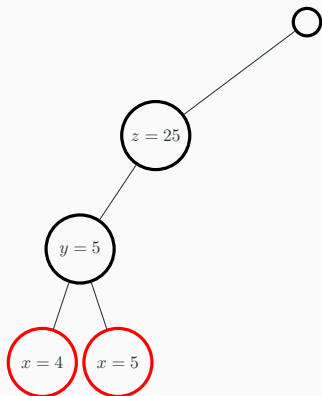
Contraintes : $x > z$ et $x \neq y$



Arbre de recherche

Variables : $x \in \{4, 5\}$, $y \in \{5, 6\}$ et $z \in \{4, 25\}$

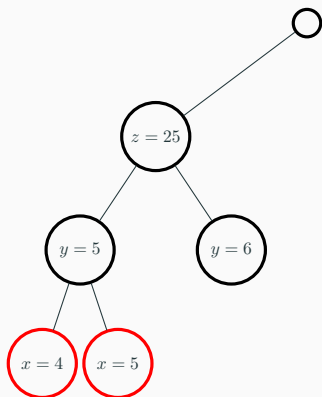
Contraintes : $x > z$ et $x \neq y$



Arbre de recherche

Variables : $x \in \{4, 5\}$, $y \in \{5, 6\}$ et $z \in \{4, 25\}$

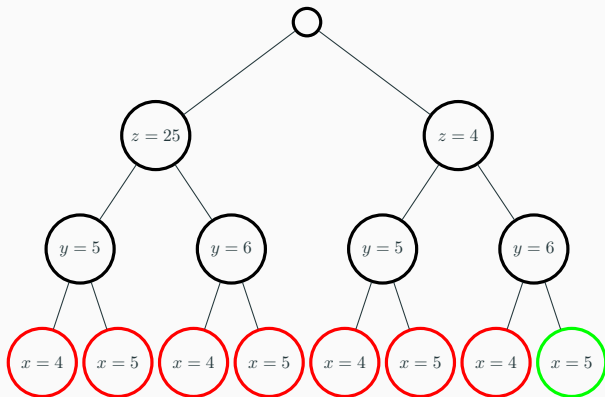
Contraintes : $x > z$ et $x \neq y$



Arbre de recherche

Variables : $x \in \{4, 5\}$, $y \in \{5, 6\}$ et $z \in \{4, 25\}$

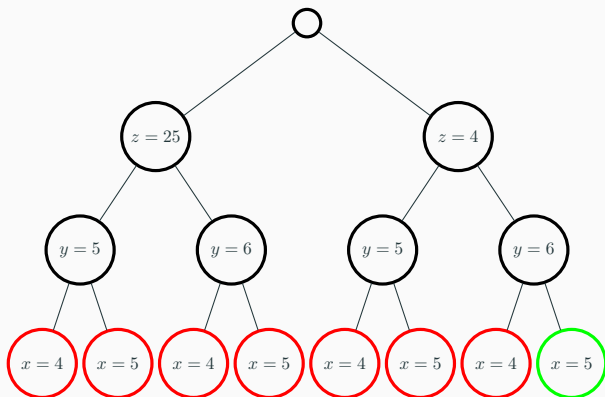
Contraintes : $x > z$ et $x \neq y$



Arbre de recherche

Variables : $x \in \{4, 5\}$, $y \in \{5, 6\}$ et $z \in \{4, 25\}$

Contraintes : $x > z$ et $x \neq y$



Pour le choix des variables et des valeurs : **heuristique**

- Couper des branches de l'arbre
- Chaque contrainte (arithmétique, logique ou **globale**) nécessite son propre **algorithme de filtrage**
- Prend en entrée les domaines des variables concernées et *fait le ménage*
- Généralement appelés à chaque nœud de l'arbre

Retour à l'exemple

Variables : $x \in \{4, 5\}$, $y \in \{5, 6\}$ et $z \in \{4, 25\}$

Contraintes : $x > z$ et $x \neq y$



Retour à l'exemple

Variables : $x \in \{4, 5\}$, $y \in \{5, 6\}$ et $z \in \{4, \cancel{25}\}$

Contraintes : $x > z$ et $\mathbf{x} \neq \mathbf{y}$



Retour à l'exemple

Variables : $x \in \{4, 5\}$, $y \in \{5, 6\}$ et $z \in \{4, \cancel{25}\}$

Contraintes : $x > z$ et $x \neq y$



Retour à l'exemple

Variables : $x \in \{4, 5\}$, $y \in \{5, 6\}$ et $z \in \{4, 25\}$

Contraintes : $x > z$ et $x \neq y$



Étant donné $G = (V, E)$ et $w...$

- Variables binaires $\mathbf{x} = (x_{e_1}, \dots, x_{e_{|E|}})$
- Variable entière $z \in [0, U]$

La contrainte WEIGHTEDCIRCUIT (Benchimol *et al.*, 2012)

Étant donné $G = (V, E)$ et $w...$

- Variables binaires $\mathbf{x} = (x_{e_1}, \dots, x_{e_{|E|}})$
- Variable entière $z \in [0, U]$

WEIGHTEDCIRCUIT(\mathbf{x}, z) est **satisfaite** ssi

- $T = \{e : x_e = 1\}$ est un cycle hamiltonien de G
- $\sum_{e \in E} w(e)x_e \leq z$

La contrainte WEIGHTEDCIRCUIT (Benchimol *et al.*, 2012)

Étant donné $G = (V, E)$ et $w...$

- Variables binaires $\mathbf{x} = (x_{e_1}, \dots, x_{e_{|E|}})$
- Variable entière $z \in [0, U]$

WEIGHTEDCIRCUIT(\mathbf{x}, z) est **satisfaite** ssi

- $T = \{e : x_e = 1\}$ est un cycle hamiltonien de G
- $\sum_{e \in E} w(e)x_e \leq z$

Reformulation du TSP

$$\min \quad z$$

$$\text{s. à } \text{WEIGHTEDCIRCUIT}(\mathbf{x}, z)$$

Le filtrage de WEIGHTEDCIRCUIT

- Filtrage basé sur les **coûts** (Focacci *et al.*, 1999)
 - Relaxation L et borne supérieure U
 - Si $L > U$, échec

- Filtrage basé sur les **coûts** (Focacci *et al.*, 1999)
 - Relaxation L et borne supérieure U
 - Si $L > U$, échec
 - Sinon, si $L[x = \mu] > U$, μ est retirée du domaine de x

- Filtrage basé sur les **coûts** (Focacci *et al.*, 1999)
 - Relaxation L et borne supérieure U
 - Si $L > U$, *échec*
 - Sinon, si $L[x = \mu] > U$, μ est retirée du domaine de x
- Utilise les coûts de la **relaxation 1-tree**
 - Identification d'arêtes **interdites**
 - Identification d'arêtes **obligatoires**

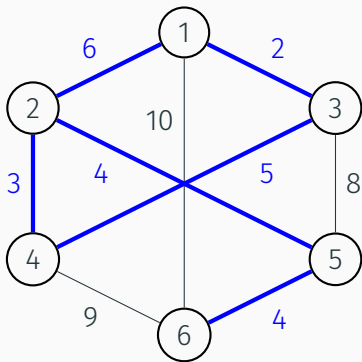
- Filtrage basé sur les **coûts** (Focacci *et al.*, 1999)
 - Relaxation L et borne supérieure U
 - Si $L > U$, *échec*
 - Sinon, si $L[x = \mu] > U$, μ est retirée du domaine de x
- Utilise les coûts de la **relaxation 1-tree**
 - Identification d'arêtes **interdites**
 - Identification d'arêtes **obligatoires**
- Intégré au processus itératif de la RL
 - *CP-based Lagrangian relaxation*, **CP-LR** (Sellmann, 2004)

Soit $e \in E$ **pas** dans le 1-tree T ($x_e = 0$)...

Soit $e \in E$ pas dans le 1-tree T ($x_e = 0$)...

- À enlever : arête de support $s \in T$
- Coût réduit : $\bar{c}(e) = \tilde{w}(e) - \tilde{w}(s)$
- e est interdite si $Z_{RL}(\boldsymbol{\lambda})[x_e = 1] = Z_{RL}(\boldsymbol{\lambda}) + \bar{c}(e) > U$

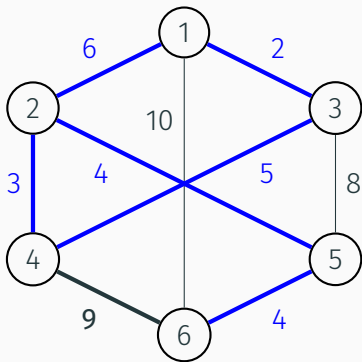
Arêtes interdites



$$Z_{RL}(\lambda) = 24 - 2(0) = 24$$

$$U = 28$$

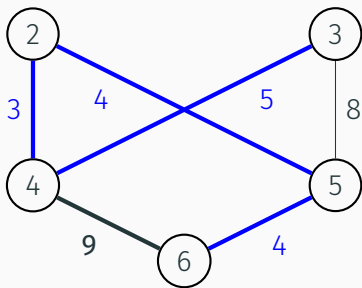
Arêtes interdites



$$Z_{RL}(\lambda) = 24 - 2(0) = 24$$

$$U = 28$$

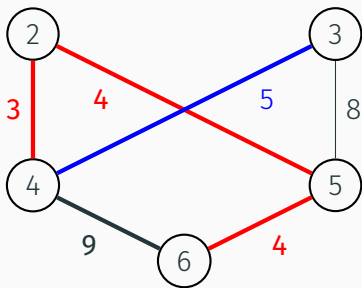
Arêtes interdites



$$Z_{RL}(\lambda) = 24 - 2(0) = 24$$

$$U = 28$$

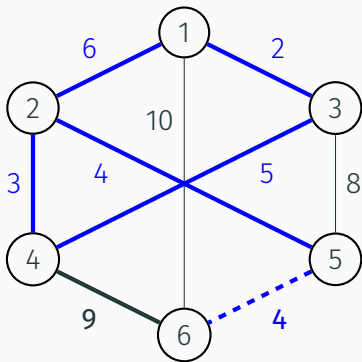
Arêtes interdites



$$Z_{RL}(\lambda) = 24 - 2(0) = 24$$

$$U = 28$$

Arêtes interdites

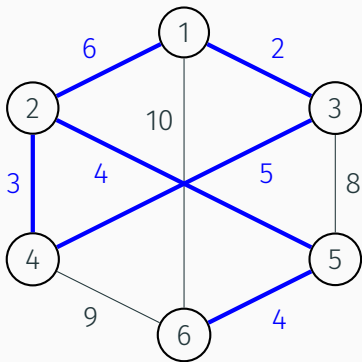


$$Z_{RL}(\lambda) = 24 - 2(0) = 24$$

$$U = 28$$

$$\bar{c}(\{4, 6\}) = \underbrace{\tilde{w}(4, 6)}_9 - \underbrace{\tilde{w}(5, 6)}_4 = 5$$

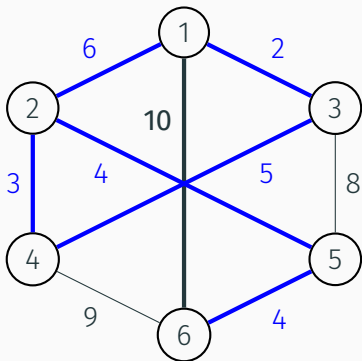
Arêtes interdites



$$Z_{RL}(\lambda) = 24 - 2(0) = 24$$

$$U = 28$$

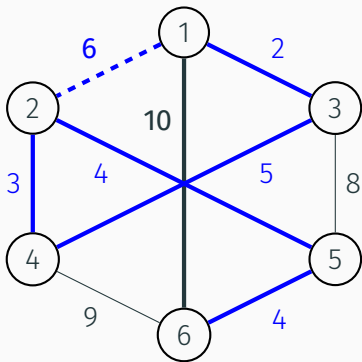
Arêtes interdites



$$Z_{RL}(\lambda) = 24 - 2(0) = 24$$

$$U = 28$$

Arêtes interdites



$$Z_{RL}(\lambda) = 24 - 2(0) = 24$$

$$U = 28$$

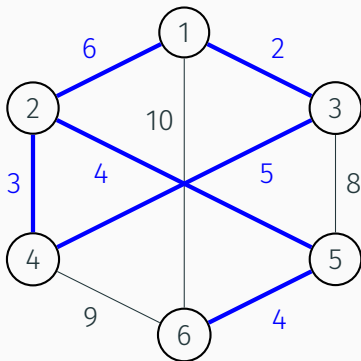
$$\bar{c}(\{1, 6\}) = \underbrace{\tilde{w}(1, 6)}_{10} - \underbrace{\tilde{w}(1, 2)}_6 = 4$$

Soit $e \in E$ dans le 1-tree T ($x_e = 1$)...

Soit $e \in E$ dans le 1-tree T ($x_e = 1$)...

- À ajouter : arête de remplacement $r \in T$
- Coût de remplacement : $\hat{c}(e) = \tilde{w}(r) - \tilde{w}(e)$
- e est obligatoire si $Z_{RL}(\boldsymbol{\lambda})[x_e = 0] = Z_{RL}(\boldsymbol{\lambda}) + \hat{c}(e) > U$

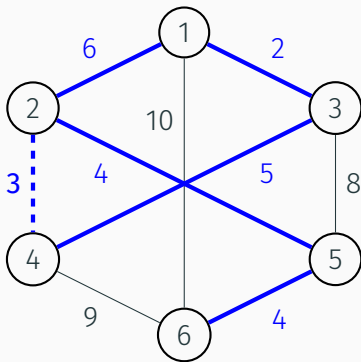
Arêtes obligatoires



$$Z_{RL}(\lambda) = 24 - 2(0) = 24$$

$$U = 28$$

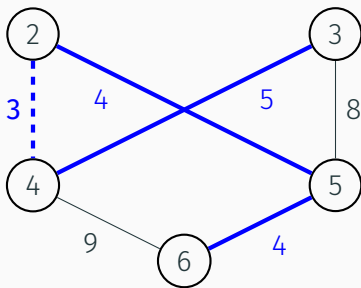
Arêtes obligatoires



$$Z_{RL}(\lambda) = 24 - 2(0) = 24$$

$$U = 28$$

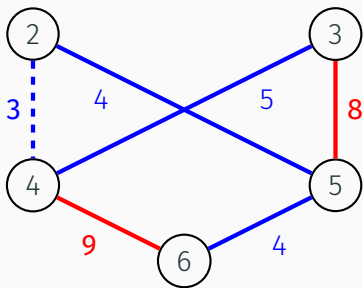
Arêtes obligatoires



$$Z_{RL}(\lambda) = 24 - 2(0) = 24$$

$$U = 28$$

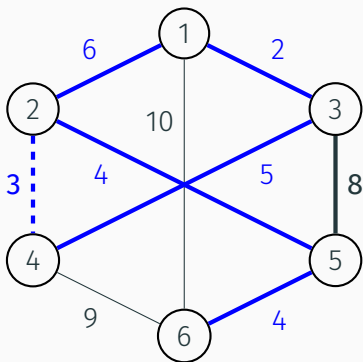
Arêtes obligatoires



$$Z_{RL}(\lambda) = 24 - 2(0) = 24$$

$$U = 28$$

Arêtes obligatoires

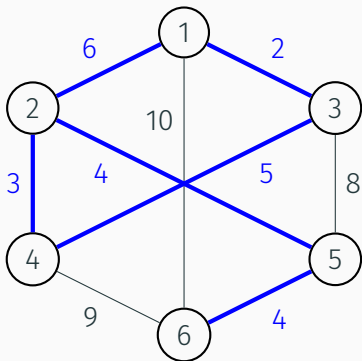


$$Z_{RL}(\lambda) = 24 - 2(0) = 24$$

$$U = 28$$

$$\hat{c}(\{2, 4\}) = \underbrace{\tilde{w}(3, 5)}_8 - \underbrace{\tilde{w}(2, 4)}_3 = 5$$

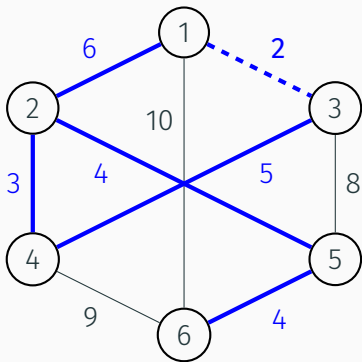
Arêtes obligatoires



$$Z_{RL}(\lambda) = 24 - 2(0) = 24$$

$$U = 28$$

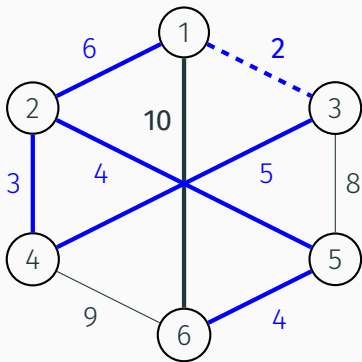
Arêtes obligatoires



$$Z_{RL}(\lambda) = 24 - 2(0) = 24$$

$$U = 28$$

Arêtes obligatoires



$$Z_{RL}(\lambda) = 24 - 2(0) = 24$$

$$U = 28$$

$$\hat{c}(\{1, 3\}) = \underbrace{\tilde{w}(1, 6)}_{10} - \underbrace{\tilde{w}(1, 3)}_2 = 8$$

Approche CP-LR améliorée

Question

Étant donné une variable x et une valeur μ de son domaine, est-il possible de modifier *temporairement* les multiplicateurs de Lagrange λ pour que cette valeur soit filtrée grâce aux coûts?

Question

Étant donné une variable x et une valeur μ de son domaine, est-il possible de modifier *temporairement* les multiplicateurs de Lagrange λ pour que cette valeur soit filtrée grâce aux coûts?

Objectif : Trouver λ' tel que $Z_{RL}(\lambda')[x = \mu] > U$

Question

Étant donné une variable x et une valeur μ de son domaine, est-il possible de modifier *temporairement* les multiplicateurs de Lagrange λ pour que cette valeur soit filtrée grâce aux coûts?

Objectif : Trouver λ' tel que $Z_{RL}(\lambda')[x = \mu] > U$

Lemme magique

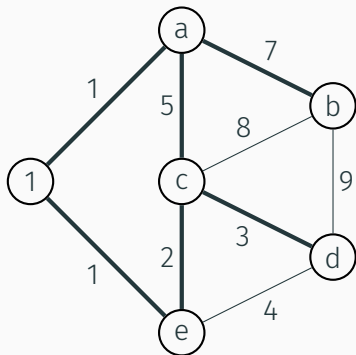
Soit $e \in E$ et T le 1-tree minimal sous λ . En modifiant λ_i , si T reste inchangé et e garde la même arête de support (remplacement), $Z_{RL}(\lambda')[x_e = b]$ est donné par un calcul arithmétique simple.

Soit $\{i, j\} \in E...$

Soit $\{i, j\} \in E...$

- Considère des cas particuliers du *lemme magique*
- Modifie **simultanément** λ_i et λ_j selon les conditions
- Ne peut qu'augmenter $Z_{RL}(\boldsymbol{\lambda})[x_{\{i,j\}} = b]$

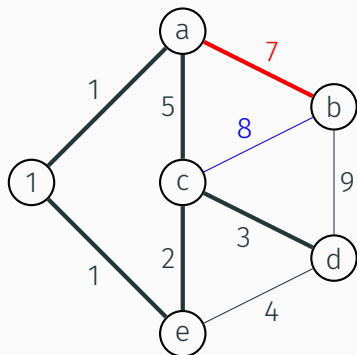
Algorithme SIMPLE



$$Z_{RL}(\lambda) = 19 - 2(0) = 19$$

$$U = 23$$

Algorithme SIMPLE

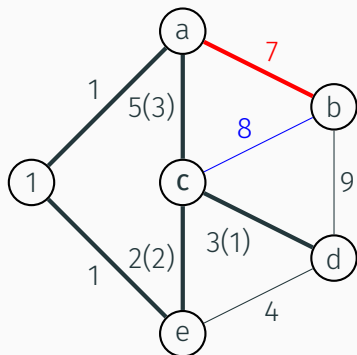


$$Z_{RL}(\boldsymbol{\lambda}) = 19 - 2(0) = 19$$

$$U = 23$$

$$\bar{c}(\{b, c\}) = \underbrace{\tilde{w}(b, c)}_8 - \underbrace{\tilde{w}(a, b)}_7 = 1$$

Algorithme SIMPLE

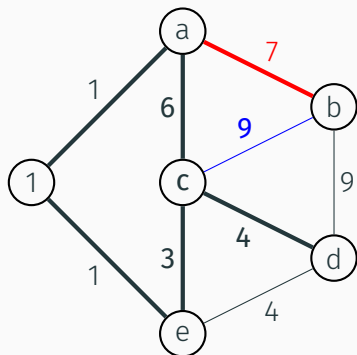


$$Z_{RL}(\boldsymbol{\lambda}) = 19 - 2(0) = 19$$

$$U = 23$$

$$\bar{c}(\{b, c\}) = \underbrace{\tilde{w}(b, c)}_8 - \underbrace{\tilde{w}(a, b)}_7 = 1$$

Algorithme SIMPLE



$$Z_{RL}(\lambda) = \mathbf{22} - 2(1) = 20$$

$$U = 23$$

$$\bar{c}(\{b, c\}) = \underbrace{\tilde{w}(b, c)}_9 - \underbrace{\tilde{w}(a, b)}_7 = 2$$

- Si possible, on modifie deux nœuds sans recalcul
- Technique analogue pour les arêtes dans T

- Si possible, on modifie deux nœuds sans recalcul
- Technique analogue pour les arêtes dans T
- 2 versions : *Relaxed* et *Complete*

- Si possible, on modifie deux nœuds sans recalcul
- Technique analogue pour les arêtes dans T
- 2 versions : *Relaxed* et *Complete*
- Complexité en temps (pire cas) : $O(|V|)$

Soit $\{i, j\} \in E$. On peut formuler les contraintes sur λ' ...

$$\lambda'_a + \lambda'_b - \lambda'_c - \lambda'_d \leq w(c, d) - w(a, b)$$

Soit $\{i, j\} \in E$. On peut formuler les contraintes sur λ' ...

$$\lambda'_a + \lambda'_b - \lambda'_c - \lambda'_d \leq w(c, d) - w(a, b)$$

$O(|V|^4)$ contraintes ☹

Soit $\{i, j\} \in E$. On peut formuler les contraintes sur λ' ...

$$\lambda'_a + \lambda'_b - \lambda'_c - \lambda'_d \leq w(c, d) - w(a, b)$$

$O(|V|^4)$ contraintes ☹

- Considère un ensemble **incrémental** de contraintes Ω
- Cherche un ensemble de nœuds A et $\alpha \geq 0$ tels que $\lambda'_u = \lambda_u + \sigma_u \cdot \alpha$ avec $\sigma_u \in \{+1, -1\}$, pour tout $u \in A$

Soit $\{i, j\} \in E$. On peut formuler les contraintes sur λ' ...

$$\lambda'_a + \lambda'_b - \lambda'_c - \lambda'_d \leq w(c, d) - w(a, b)$$

$O(|V|^4)$ contraintes ☹

- Considère un ensemble **incrémental** de contraintes Ω
- Cherche un ensemble de nœuds A et $\alpha \geq 0$ tels que $\lambda'_u = \lambda_u + \sigma_u \cdot \alpha$ avec $\sigma_u \in \{+1, -1\}$, pour tout $u \in A$
- Chaque contrainte $\omega \in \Omega$ s'écrit sous la forme $c_\omega \cdot \alpha \leq m_\omega$
- En maximisant α , on trouve $\alpha^* \geq 0$:

Soit $\{i, j\} \in E$. On peut formuler les contraintes sur λ' ...

$$\lambda'_a + \lambda'_b - \lambda'_c - \lambda'_d \leq w(c, d) - w(a, b)$$

$O(|V|^4)$ contraintes ☹

- Considère un ensemble **incrémental** de contraintes Ω
- Cherche un ensemble de nœuds A et $\alpha \geq 0$ tels que $\lambda'_u = \lambda_u + \sigma_u \cdot \alpha$ avec $\sigma_u \in \{+1, -1\}$, pour tout $u \in A$
- Chaque contrainte $\omega \in \Omega$ s'écrit sous la forme $c_\omega \cdot \alpha \leq m_\omega$
- En maximisant α , on trouve $\alpha^* \geq 0$:
 - Si $\alpha^* > 0$, on augmente $Z_{RL}(\lambda)[x_{\{i,j\}} = b]$

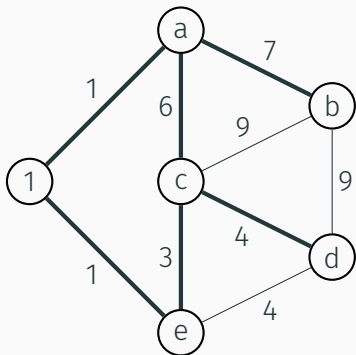
Soit $\{i, j\} \in E$. On peut formuler les contraintes sur λ' ...

$$\lambda'_a + \lambda'_b - \lambda'_c - \lambda'_d \leq w(c, d) - w(a, b)$$

$O(|V|^4)$ contraintes ☹

- Considère un ensemble **incrémental** de contraintes Ω
- Cherche un ensemble de nœuds A et $\alpha \geq 0$ tels que $\lambda'_u = \lambda_u + \sigma_u \cdot \alpha$ avec $\sigma_u \in \{+1, -1\}$, pour tout $u \in A$
- Chaque contrainte $\omega \in \Omega$ s'écrit sous la forme $c_\omega \cdot \alpha \leq m_\omega$
- En maximisant α , on trouve $\alpha^* \geq 0$:
 - Si $\alpha^* > 0$, on augmente $Z_{RL}(\lambda)[x_{\{i,j\}} = b]$
 - Si $\alpha^* = 0$, **faire un choix** de nœud pour débloquent!

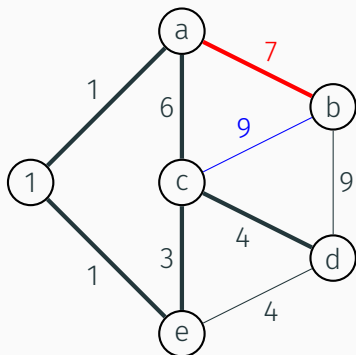
Algorithm α -SETS



$$Z_{RL}(\lambda) = 22 - 2(1) = 20$$

$$U = 23$$

Algorithm α -SETS

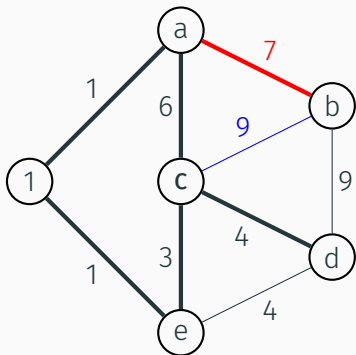


$$Z_{RL}(\lambda) = 22 - 2(1) = 20$$

$$U = 23$$

$$\bar{c}(\{b, c\}) = \underbrace{\tilde{w}(b, c)}_9 - \underbrace{\tilde{w}(a, b)}_7 = 2$$

Algorithme α -SETS



Contraintes

$$\alpha \leq \tilde{w}(a, b) - \tilde{w}(a, c) = 1$$

$$\alpha \leq \tilde{w}(b, d) - \tilde{w}(a, c) = 3$$

$$\alpha \leq \tilde{w}(b, d) - \tilde{w}(c, d) = 5$$

$$\alpha \leq \tilde{w}(d, e) - \tilde{w}(c, d) = \mathbf{0}$$

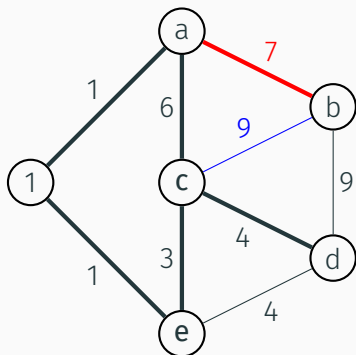
$$\alpha \leq \tilde{w}(d, e) - \tilde{w}(c, e) = 1$$

$$Z_{RL}(\lambda) = 22 - 2(1) = 20$$

$$U = 23$$

$$\bar{c}(\{b, c\}) = \underbrace{\tilde{w}(b, c)}_9 - \underbrace{\tilde{w}(a, b)}_7 = 2$$

Algorithme α -SETS



Contraintes

$$\alpha \leq \tilde{w}(a, b) - \tilde{w}(a, c) = \mathbf{1}$$

$$\alpha \leq \tilde{w}(b, d) - \tilde{w}(a, c) = 3$$

$$\alpha \leq \tilde{w}(b, d) - \tilde{w}(c, d) = 5$$

~~$$\alpha \leq \tilde{w}(d, e) - \tilde{w}(c, d) = 0$$~~

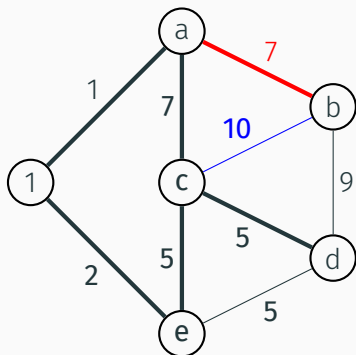
$$\alpha \leq \tilde{w}(d, e) - \tilde{w}(c, e) = \mathbf{1}$$

$$Z_{RL}(\lambda) = 22 - 2(1) = 20$$

$$U = 23$$

$$\bar{c}(\{b, c\}) = \underbrace{\tilde{w}(b, c)}_9 - \underbrace{\tilde{w}(a, b)}_7 = 2$$

Algorithm α -SETS



$$Z_{RL}(\lambda) = 27 - 2(3) = 21$$

$$U = 23$$

$$\bar{c}(\{b, c\}) = \underbrace{\tilde{w}(b, c)}_{10} - \underbrace{\tilde{w}(a, b)}_7 = 3 \text{ 😊}$$

- **Itératif** : Tant qu'un ensemble A valide existe
- Pour limiter le nombre de contraintes considérées :
cardinalité maximale C_m
- Implémentation : Recherche en profondeur itérative

- **Itératif** : Tant qu'un ensemble A valide existe
- Pour limiter le nombre de contraintes considérées : **cardinalité maximale** C_m
- Implémentation : Recherche en profondeur itérative
- Complexité en temps (pire cas) : $O(C_m |V| |E| 4^{C_m})$

- **Itératif** : Tant qu'un ensemble A valide existe
- Pour limiter le nombre de contraintes considérées : **cardinalité maximale** C_m
- Implémentation : Recherche en profondeur itérative
- Complexité en temps (pire cas) : $O(C_m |V| |E| 4^{C_m})$
- Algorithme **HYBRID** : SIMPLE *Complete* d'abord

Résultats et conclusion

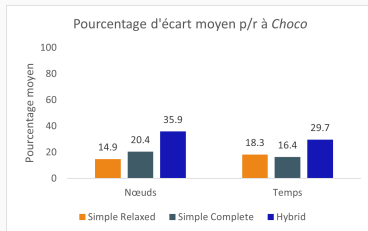
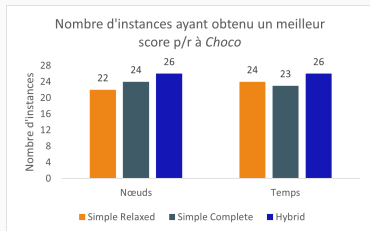
- Implémentés dans *Choco / Choco Graph*
- Banc d'essai : TSPLIB (28 instances, taille 96 à 431)
- Comparaison de SIMPLE (2 versions) et HYBRID VS *Choco* (état de l'art pour l'implémentation de WEIGHTEDCIRCUIT)
- Appelés à la dernière itération du sous-gradient
- α -SETS :
 - Nombre maximal d'itérations : 10
 - $C_m = 2$
 - Condition d'appel : $|E| \leq 2|V|$

Résultats (en bref)

Mesure	<i>Choco</i>		<i>SIMPLE Relaxed</i>		<i>SIMPLE Complete</i>		HYBRID	
	Nœuds	Temps	Nœuds	Temps	Nœuds	Temps	Nœuds	Temps
Moy. arithmétique	89031	1779.8	65906	1393.3	63276	1339.5	50592	1130.8
Moy. géométrique	4084	53.1	3293	41.8	3150	43.3	2484	35.6
Écart-type	242149	4878	176157	3955.5	176451	3760.8	138628	3317.6

Résultats (en bref)

Mesure	Choco		SIMPLE Relaxed		SIMPLE Complete		HYBRID	
	Nœuds	Temps	Nœuds	Temps	Nœuds	Temps	Nœuds	Temps
Moy. arithmétique	89031	1779.8	65906	1393.3	63276	1339.5	50592	1130.8
Moy. géométrique	4084	53.1	3293	41.8	3150	43.3	2484	35.6
Écart-type	242149	4878	176157	3955.5	176451	3760.8	138628	3317.6



Contributions

- Introduction d'une **approche améliorée** pour les problèmes de type CP-LR
- Application de cette approche sur le **filtrage** de la contrainte WEIGHTEDCIRCUIT
 1. Algorithme SIMPLE
 2. Algorithme α -SETS
- **Amélioration significative** du temps de résolution comparativement à l'état de l'art implémenté dans *Choco*

Contributions

- Introduction d'une **approche améliorée** pour les problèmes de type CP-LR
- Application de cette approche sur le **filtrage** de la contrainte WEIGHTEDCIRCUIT
 1. Algorithme SIMPLE
 2. Algorithme α -SETS
- **Amélioration significative** du temps de résolution comparativement à l'état de l'art implémenté dans *Choco*

Suite des choses

- Intégration avec les travaux d'Isoart et Régim (2019, 2020)
- Expérimentations sur d'autres problèmes de type CP-LR

Merci!
Questions?